

خواص نانومکانیکی چسب‌های زیستی سیانوآکریلاتی نورپخت شبکه‌ای شده با TMPTMA یا نانوساختارهای POSS

مجله علوم و تکنولوژی پلیمر،
سال بیست و پنجم، شماره ۱،
صفحه ۵۳-۶۴ ۱۳۹۱
ISSN: 1016-3255

سمانه قصابان، محمد عطایی*، محمد ایمانی، مؤسسه زندی

تهران، پژوهشگاه پلیمر و پتروشیمی ایران، صندوق پستی ۱۴۹۶۵-۱۱۵

دریافت: ۹۰/۹/۲۹، پذیرش: ۹۰/۲/۱۹

چکیده

در این پژوهش، خواص نانومکانیکی سطحی شامل مدول سطحی و سختی چسب‌های زیستی سیانوآکریلاتی شبکه‌ای شده با تابش نور حاوی یکی از دو نوع عامل شبکه‌ای کننده ۲-اتیل-هیدروکسی متیل-۲،۱-پروپان دی‌ال تری‌متاکریلات (TMPTMA) یا نانوساختارهای پلی‌هدرال‌الیگومری سیلیسکویی اکسان متاکریل‌دارشده (POSS-MA) ارزیابی شده است. بدین منظور، چسب‌های حاوی ۲-اکتیل سیانوآکریلات (2-OCA) و درصدهای مختلف از TMPTMA یا نانوساختارهای POSS-MA تهیه و ۱-فنیل-۲،۱-پروپان دیون (PPD) به عنوان آغازگر نوری به آنها افزوده شد. پس از پخت نوری نمونه‌ها، آزمون نانوسختی‌سنگی سطح به شیوه نانودندانه‌گذاری با استفاده از نوک نوع برکویچ انجام و نتایج حاصل به روش Oliver و Pharr تحلیل شدند. نتایج نشان داد، ورود یک عامل شبکه‌ای کننده در ساختار چسب، مدول و سختی سطحی آن را افزایش و افت نیرو در زمان ثابت نگه‌داشتن نیرو را کاهش می‌دهد. زیرا، با افزایش نسبت عامل شبکه‌ای کننده، درصد اتصالات عرضی و بنابراین مدول افزایش می‌یابد. از سوی دیگر، با افزایش اتصالات عرضی، مقاومت ماده در برابر نفوذ نوک دندانه‌گذار که نشان‌دهنده سختی سطح است، افزایش می‌یابد. کار کشسان، کار پلاستیک و کار خرز انجام شده نیز محاسبه شد. این انتظار که افزایش درصد عامل شبکه‌ای کننده با افزایش کار کشسان، کاهش کار پلاستیک و کاهش کار خرز همراه باشد، به دلیل افزایش چگالی اتصالات عرضی و کاهش لغزش زنجیرهای پلیمری روی هم در بعضی نمونه‌ها مشاهده شد. برای نمونه‌های در آب نگه‌داری شده پیش از انجام آزمون، نتایج متفاوت بود که نشان‌دهنده اثر نرم‌کنندگی ناشی از جذب آب بود.

واژه‌های کلیدی

سیانوآکریلات،
شبکه‌ای کردن نوری،
POSS
نانو دندانه‌گذاری،
خواص مکانیکی سطح

* مسئول مکاتبات، پیام‌نگار:
m.atai@ippi.ac.ir

مقدمه

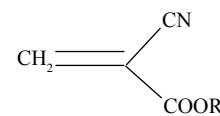
مورد نظر کافی نیست [۱]. برای فاثق شدن بر این مشکل می‌توان با استفاده از عوامل شبکه‌ای کننده چندآکریلاتی و ایجاد ساختاری سه بعدی پخت شده بر مدول و استحکام شبکه حاصل افزود. برای نمونه Wendell موفق شد، چسب جدید قابل پلیمرشدنی را توسعه دهد که استحکام پیوند هم‌چسبی بیشتری داشت و حاوی استر مونومری از a-سیانوآکریلیک اسید و شبکه‌ای کننده‌ای دو عاملی (مانند دی‌استری از آکریلیک یا متاکریلیک اسید و الکلی دارای حداقل دو گروه هیدروکسیل قابل استری شدن) بود. او توانست با وارد کردن عامل شبکه‌ای کننده، استحکام فشاری را به مقدار قابل توجهی افزایش دهد [۱۶].

پیش از ابداع آزمون نانو دندانه‌گذاری، از یک سوزن سخت (hard tip) برای اندازه‌گیری سختی سطح ماده استفاده می‌شد. در این شیوه نیروی اعمالی و ابعاد اثر بر جای مانده از سوزن بر سطح ماده اندازه‌گیری و سختی سطح محاسبه می‌شد. کاربرد شیوه قدیمی آزمون نفوذ در دهه ۱۹۸۰، با گسترش علاقه به کاهش مقیاس آزمون‌های بر مبنای نفوذ برای سنجش خواص مکانیکی فیلم‌های نازک مورد تردید قرار گرفت. چون، تهیه نمونه‌های به اندازه کافی بزرگ از آنها امکان پذیر نبود، ضمن آن که حتی در حالت تهیه نمونه نفوذ از اثر بستر بر خواص نمونه‌های نازک نمی‌توان صرف نظر کرد. با تغییر مقیاس آزمون‌ها از میکرو به نانو امکان اندازه‌گیری اثر بر جای مانده (residual impression) نفوذ از سوزن از بین رفت. بنابراین، در آزمون نانو دندانه‌گذاری به جای اثر بر جای مانده از سوزن بر سطح، از نقطه حداکثر بارگذاری برای تعیین سختی استفاده می‌شود. آن‌چه از آزمون نانو دندانه‌گذاری به دست می‌آید، منحنی نیرو بر حسب عمق نفوذ در طول بارگذاری و باربرداری است (شکل ۲) [۱۷-۱۹]. در طول فرایند بارگذاری، هر دو تغییر شکل کشسان و پلاستیک رخ می‌دهد، ولی در زمان باربرداری تنها تغییر شکل کشسان وجود دارد. از منحنی نیرو بر حسب عمق نفوذ در فرایند برداشتن نیرو برای تعیین خواص نانومکانیکی نمونه‌ها با استفاده از مدل‌های متفاوت مانند Oliver و Pharr استفاده می‌شود [۱۷، ۱۹].

در این مطالعه، از دو نوع عامل شبکه‌ای کننده آکریلاتی شامل ۲-اتیل- (هیدروکسی متیل)-۳،۱-پروپان دی‌ال-تری متاکریلات (TMPTMA) با سه گروه اعمالی آکریلاتی و دیگری ترکیبی دارای حدود ۱۰ گروه آکریلاتی اما با ساختاری قفسی شکل در ابعاد نانومتری استفاده شد. این دو عامل شبکه‌ای کننده که از تاخواده سیلیسکوبی اکسان‌ها با نام اختصاری POSS-MA بودند، هر یک جداگانه به فرمول بندی چسب‌ها اضافه و نتایج حاصل از آزمایش‌های نانو دندانه‌گذاری آن دو مقایسه شد. در مطالعه پیشین

آلکیل سیانوآکریلات‌ها از جمله چسب‌هایی هستند که کاربرد زیستی گستره‌های به عنوان چسب بافتی یا عامل بندآوری خون دارند. به طور کلی، مونومرهای آلکیل سیانوآکریلاتی از واکنش تراکمی سیانواستات و فرمالدھید همراه با گرمادھی در خلاء سنتز می‌شوند و به طور عمومی مایعاتی با گرانزوی کم هستند. این مونومرهای به شدت واکنش پذیرند و در تماس با آغازگرهای آبیونی مختلف پلیمر می‌شوند و فیلم جامدی را تشکیل می‌دهند که می‌تواند بر زخم‌های بافتی پل زده و لبه‌های بربده شده را در کنار هم نگاه دارد. ویژگی واکنش پذیری مونومرهای آلکیل سیانوآکریلات به دلیل وجود گروه‌های نیتریل و استری موجود در ساختار آنهاست که هر دو گروه عاملی الکترون‌کشند و پیوند دوگانه را حتی در حضور هسته دوست‌های بسیار ضعیف قطبیده می‌کنند (شکل ۱). حتی آب نیز می‌تواند پیوند دوگانه موجود را قطبیده کند و باعث آغاز واکنش پلیمر شدن با ساز و کار آبیونی شود [۱-۳].

آلکیل سیانوآکریلات‌ها مانند سایر آکریلات‌ها، از ساز و کار رادیکالی آزاد به پلیمر متناظر تبدیل می‌شوند [۱]. اما، در همه مطالعاتی که کاربرد سیانوآکریلات‌ها را به عنوان چسب بافت گزارش کرده‌اند، این مونومرهای با ساز و کار آبیونی پلیمر شده‌اند [۱۴، ۲، ۱]. سرعت نسبتاً زیاد پلیمر شدن به روشن آبیونی و در نتیجه زمان کوتاه گیرش (setting time) چسب در برخی از کاربردها سبب می‌شود که جراح هنگام عمل جراحی فرصت کافی برای اعمال صحیح چسب را نداشته باشد [۳]. تدبیر در پیش گرفته شده توسط نویسنده‌گان برای رفع این مشکل، کنترل سرعت واکنش با تغییر ساز و کار پلیمر شدن از ساز و کار یونی به رادیکالی و آغاز واکنش با تابش نور مرئی است. در این شیوه، پس از اتمام عملیات بازسازی بافت‌های آسیب دیده و قراردادن چسب در موضع، می‌توان با تابش پرتوهای نور باشد تابش محدود، چسب را پخت و بافت را در موضع ثبت کرد [۱۵]. مشکل دیگر در کاربرد چسب‌های سیانوآکریلاتی، کم بودن استحکام آنها برای کاربرد در ثبت بافت‌های سختی مانند بافت‌های استخوانی زیر بارهای پویاست. هرچند سیانوآکریلات‌ها نسبت به سایر چسب‌های بافتی مانند انواع فیرینی و پلی‌بورتانی، استحکام بیشتری دارند، ولی این مقادیر هنوز هم برای کاربردهای زیر بار



شکل ۱- ساختار کلی مونومر آلکیل سیانوآکریلات (R می‌تواند از متیل تا دسیل متغیر باشد) [۱].

مواد استفاده شده را نشان می‌دهد.

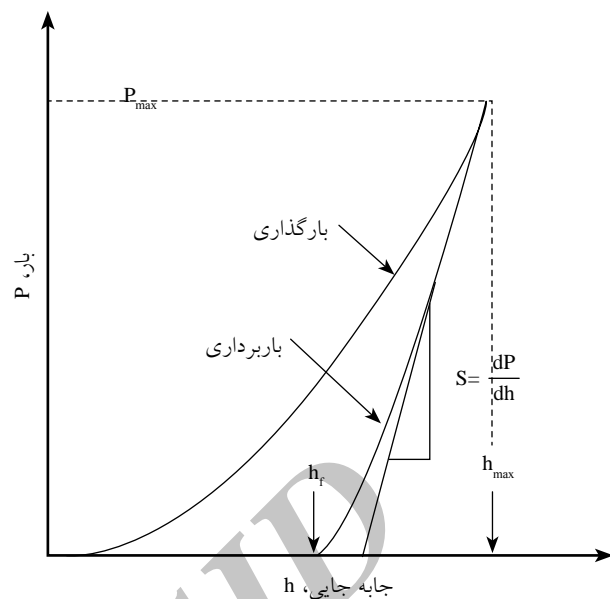
دستگاه‌ها و روش‌ها

تهیه نمونه‌ها

در ابتدا با افزودن ۲۰۰ ppm آکریلیک اسید به فرمول‌بندی چسب از انجام پلیمرشدن آئیونی جلوگیری شد. در مرحله بعد واکنش پلیمرشدن با ساز و کار رادیکالی آزاد با تابش نور آغاز و به پیش برده شد. بدین مظور از آغازگر نوری استفاده شد تا بر اثر تابش نور، رادیکال آزاد تولید شود و به پیوند دوگانه آکریلاتی حمله کند. در نتیجه، واکنش پلیمرشدن به طور عمدۀ با ساز و کار رادیکالی پیش می‌رود.

برای بررسی اثر مقدار و نوع عامل شبکه‌ای کننده بر خواص نانومکانیکی چسب، ترکیباتی حاوی (w/w) ۰.۴٪ PPD و ۱۰٪ POSS-MA یا ۴۰٪ وزنی (نسبت به چسب پایه) از یکی از دو نوع عامل شبکه‌ای کننده POSS-MA یا TMPTMA ساخته شدند. ترکیب‌های آماده شده در قالب‌هایی از جنس لاستیک سیلیکون با ابعاد ۱۰×۴۰×۲ mm ریخته شدند تا بتوان پس از انجام فرایند پخت، نمونه را به راحتی و بدون آسیب به سطوح از قالب خارج کرد.

ابتدا در تمام نمونه‌ها پلیمرشدن نوری با تابش نور مری (دامنه نور



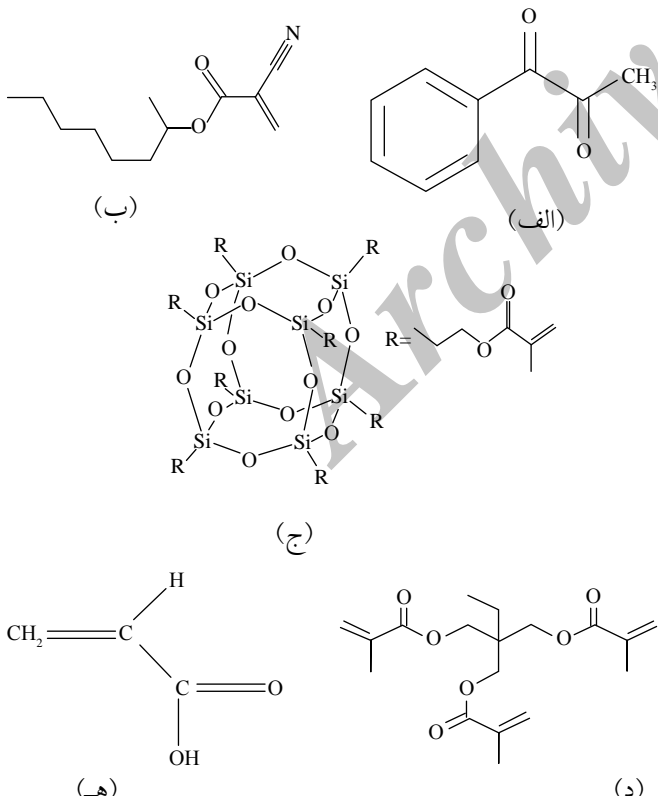
شکل ۲- نمایی از منحنی بار (P) بر حسب جابه‌جایی سوزن (h) در آزمون نانوفغود (در این منحنی P_{max} حداکثر نیروی بارگذاری شده، h_{max} جابه‌جایی سوزن در بار حداکثر، h_f عمق اثر تماس پس از برداشتن بار و S سفتی اولیه پس از برداشتن بار است) [۲].

انجام شده توسط نویسنده‌گان، خواص مکانیکی توده ماده تهیه شده با همین فرمول‌بندی‌ها به وسیله آزمون دینامیکی - مکانیکی گرمایی بررسی شد [۱۵].

تجربی

مواد

در این پژوهش، از مونومر ۲-اکتیل سیانوآکریلات (Tong Shen Enterprise Co. Ltd، چین) به عنوان پایه چسب، ۱-فنیل-۲،۲-پروپان دیون (PPD، Sigma-Aldrich، آلمان) آمریکا) به عنوان آغازگر نوری و آکریلیک اسید (Fluka، آلمان) برای جلوگیری از پلیمرشدن زودهنگام مونومر چسبی به روش آئیونی استفاده شد. مونومر چندعاملی ۲-اتیل- (هیدروکسی متیل)- ۱،۳-پروپان دی‌ال تری متاکریلات (TMPTMA، Merck، آلمان) و نانوساختارهای POSS-MA، Hybrid (Plastics Inc، آمریکا) نیز به عنوان عوامل شبکه‌ای کننده به کار برده شدند. POSS-MA با نام آیوپاک (۲-پروپانویک اسید، ۲-متیل-۳-(تری متوكسی سیلیل) پروپیل استر، آب کافت شده) مخلوطی از قفسه‌های مولکولی ۸ و ۱۲ تایی است. شکل ۳ ساختار شیمیایی



شکل ۳- ساختار شیمیایی: (الف) ۲-اکتیل سیانوآکریلات، (ب) PPD، (ج) POSS-MA، (د) TMPTMA، (ه) آکریلیک اسید.

که در آن P_{\max} بیشینه نیروی بارگذاری شده و A سطح در معرض تماس با سوزن در حداکثر بارگذاری است. سطح در معرض تماس (A) بسته به شکل سطح مقطع سوزن و عمق نفوذ به دست می‌آید. مدول کشسانی کاهش یافته (E_i) نیز از معادله (۲) و براساس این واقعیت محاسبه می‌شود که تغییر شکل کشسانی هم در نمونه مورد آزمون و هم در نفوذکننده رخ می‌دهد:

$$\frac{1}{E_i} = \frac{1-v^2}{E} + \frac{1-v_i^2}{E_i} \quad (2)$$

در این معادله E و v به ترتیب مدول کشسانی و نسبت پواسون برای نمونه تحت آزمون و E_i همین مقادیر برای نفوذکننده هستند. سفتی (S) به شکل شیب خط مماس بر منحنی نیرو بر حسب عمق نفوذ در نقطه برداشتن نیرو از معادله (۳) محاسبه می‌شود [۱۸، ۱۹]:

$$S = \frac{dP}{dh} = \frac{2}{\sqrt{\pi}} E_i \sqrt{A} \quad (3)$$

نتایج و بحث

عوامل بسیاری بر دقت نتایج حاصل از آزمون نانوفوژ اثرگذار هستند که برخی از آنها مانند تن دهی (compliance) (دستگاه یا عیوبی در هندسه سر سوزن)، حاصل طراحی و ساخت تجهیزات است. اما، برخی دیگر از این عوامل به ماهیت ماده مورد آزمون بستگی دارد و باید در تحلیل داده‌ها در نظر گرفته شوند. در این میان تمايل ماده به برآمدگی (pile-up) یا فرورفتگی (sink-in) در اطراف سطح تماس با سوزن از مؤثرترین عوامل هستند. سخت شدن ناشی از کرنش ماده در مجاورت نوک سوزن منجر به بروز تغییر شکل پلاستیک بیشتر در ناحیه در تماس می‌شود و الگویی فرو رفته در سطح نزدیک سوزن ایجاد می‌کند. بر عکس در موادی که سرعت سخت شدن ناشی از کرنش کم باشد، در اطراف سوزن برآمدگی روی سطح بر جای می‌ماند. به بیان دیگر، در این حالت سطح میل دارد که به جای فشرده شدن، باز شود. وجود این دو پدیده اثری منفی بر تعیین مساحت در تماس دارد و باعث عدم دقت در محاسبه مقادیر سختی و مدول یانگ به دست آمده با آزمون نانودنده‌گذاری می‌شود. هندسه سر سوزن نیز در مقدار این پدیده اثر دارد [۲۰، ۱۷].

شكل‌های ۴-الف و ب به ترتیب منحنی‌های نیرو بر حسب زمان و نیرو بر حسب عمق نفوذ را به طور طرح‌وار نشان می‌دهد.

آبی با طول موج ۴۵۰-۵۰۰ nm و شدت تابش 600 mW/cm^2 به مدت ۳۰۰ s با استفاده از کاونده تابش نور مریبی (مدل 501 Optilux، ساخت شرکت Kerr آمریکا) انجام شد. سپس، نمونه‌ها برای اطمینان از کامل شدن پخت، به مدت ۲ h در محفظه پخت نوری (Tray Lux™ cure-unit، مدل M5، تایوان) با طول موج نور آبی قرار گرفتند. تعدادی از نمونه‌ها به مدت ۲۴ h پیش از انجام آزمون در آب مقطر در انکوباتور (مدل CO-150، ساخت شرکت New Brunswick Scientific آمریکا) با دمای 37°C قرار گرفتند تا اثر جذب رطوبت بر خواص سطحی نمونه‌ها بررسی شود.

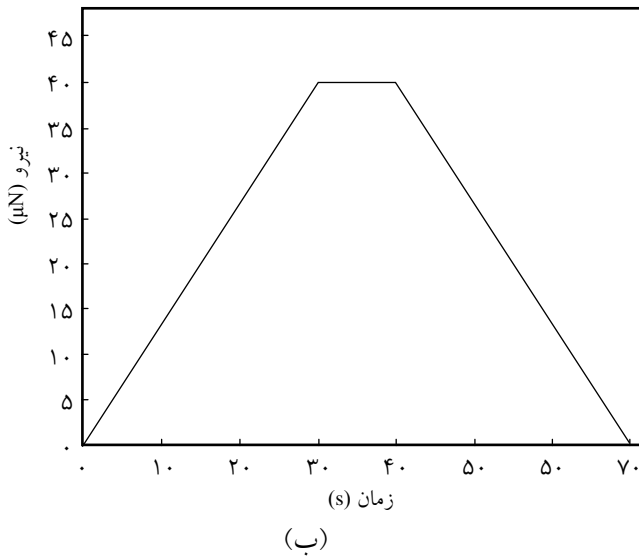
آزمون نانودنده‌گذاری

خواص نانومکانیکی سطح شامل سختی و مدول به روش نانودنده‌گذاری براساس استاندارد ISO ۱۴۵۷۷ معین شدن. به این منظور از دستگاه آزمون نانوفوژ (Triboscope® Nanomechanical Hysitron Test-Instrument، Hysitron Inc آلمان) و از نرم افزار Hysitron® (ویرایش ۳.۵.۴.۴) برای محاسبه مدول و سختی استفاده شد. از نرم افزار SPSS برای تحلیل آماری داده‌ها در حد معنی‌داری 0.05 استفاده شد.

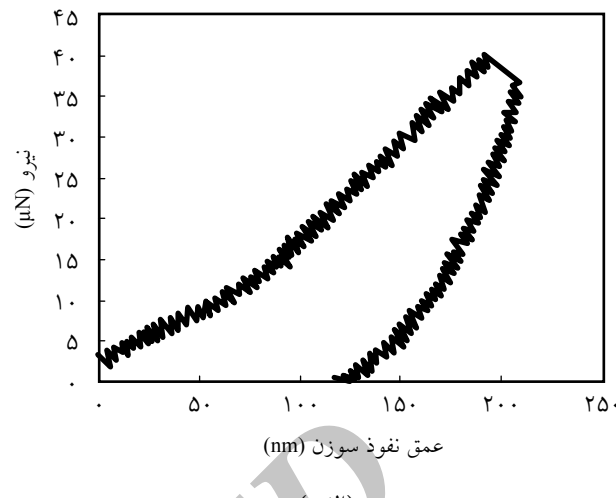
پیش از انجام آزمون برای یکنواخت کردن سطح، سطح نمونه‌ها به ترتیب با کاغذهای سمباده $700, 1000, 1500, 2000$ و 3000 صاف شدند. برای نمونه‌های قرار گرفته در آب سطح کاغذ سمباده به هنگام سمباده زنی مرتبط شد. در این آزمون، مدت زمان نفوذ 30 s و زمان نگهداری نفوذکننده در نانوکامپوزیت 10 s بود. بدین ترتیب، در مدت 30 s ابتدا بار با سرعت ثابت به سر نفوذکننده اعمال شد تا نفوذکننده در نمونه وارد شود.

پس از رسیدن به بیشینه عمق نفوذ، سر نفوذکننده به مدت 10 s در نمونه نگهداری شد و پس از آن با همان سرعت، نیروی اعمال شده از روی سر نفوذکننده برداشته شد. آزمون برای هر نمونه حداقل سه مرتبه تکرار و منحنی نیرو (μN) بر حسب جایه‌جایی (nm) یا همان عمق نفوذ به دست آمد. داده‌های بار-جایه‌جایی نفوذ بر اساس روش Oliver و Pharr تحلیل شد و پارامترهای مورد نظر شامل مدول کاهش یافته، سختی و افت نیرو در زمان ثابت نگهداری نیرو برای نمونه‌های مختلف محاسبه و مقایسه شدند. معادلات (۱) تا (۳) روابط ناظر بر محاسبه سختی، مدول و سفتی را مطابق بیان این دو دانشمند نشان می‌دهند. بدین ترتیب سختی سطح نمونه از معادله (۱) محاسبه شد:

$$H = \frac{P_{\max}}{A} \quad (1)$$



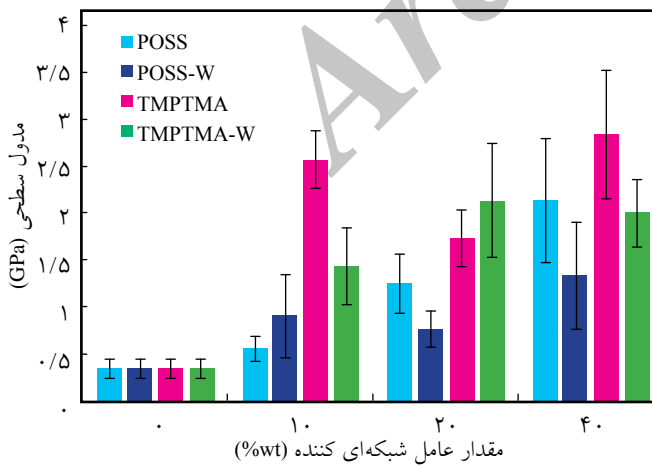
(ب)



(الف)

شکل ۴- نمودار نیرو بر حسب: (الف) زمان و (ب) عمق نفوذ سوزن.

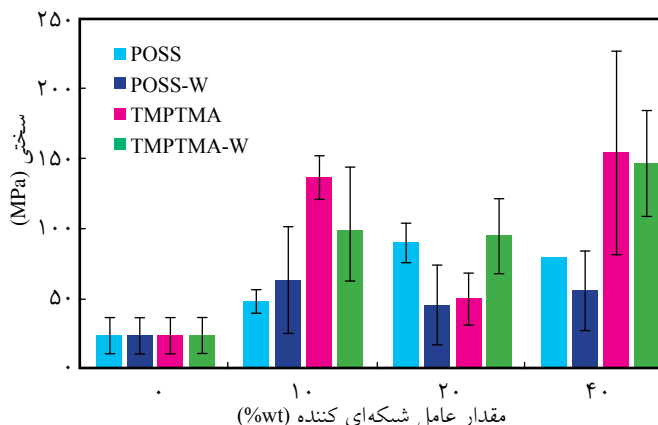
پژوهش دیگری که Shimamoto و همکارش برای کنترل عمق نفوذ در این آزمون بر شیشه باریم - بوروسیلیکات انجام دادند، مشاهده کردند، نیروی حداکثر در مدت زمان نگهداشتی نیرو کاهش می‌یابد که این کاهش به وقوع آسایش از تنفس در نمونه نسبت داده شد [۲۴]. نمودار مدول سطح نانوکامپوزیت‌های حاوی درصدهای وزنی مختلف از عوامل شبکه‌ای کننده در شکل ۵ نشان داده شده است. همان‌طور که در این شکل مشاهده می‌شود، با افزایش POSS-MA مدول افزایش می‌یابد. زیرا با افزایش مقدار عامل شبکه‌ای کننده، چگالی اتصالات عرضی بیشتر می‌شود، بنابراین مدول افزایش می‌یابد [۲۵]. در حالت مرطوب گرچه با افزایش POSS-MA مدول افزایش



شکل ۵- مدول سطحی نمونه‌های حاوی درصدهای مختلف از عوامل شبکه‌ای کننده POSS-MA یا TMPTMA (منظور از W نمونه‌هایی است که در آب قرار گرفته‌اند).

همان‌طور که در این شکل دیده می‌شود، با اعمال نیرو به سوزن، عمق نفوذ افزایش می‌یابد. در برخی از روش‌های آزمون نانوگردانه گذاری (مشابه شیوه به کار گرفته شده در این پژوهش) پس از رسیدن نیرو به بیشینه خود و پیش از برداشتی نیرو، سوزن مدت زمان معینی زیر نیروی ثابت روی نمونه نگهداشتی می‌شود. در طول زمان نگهداشتی نیرو، جایه‌جایی سوزن ممکن است مخالف صفر باشد. این پدیده موسوم به خرز نفوذی به مشخصات وابسته به زمان پاسخ مواد ارتباط دارد [۲۱]. هر چند این نگهداشتی نیرو بر ماده می‌تواند سهم رفتار پلاستیک (تغییر شکل دائمی و برگشت‌ناپذیر) را بر داده‌های باربرداری به حداقل برساند، ولی آثار خرز به وجود آمده مقادیر سختی را تغییر می‌دهد. در این باره Fan و همکارش در اندازه‌گیری‌های نانومکانیکی استخوان متراکم انسان با مطالعه آثار گرانزوکشسانی و نرم کنندگی وابسته به زمان نشان دادند که می‌توان با انجام چند چرخه بارگذاری - باربرداری اثر رفتار پلاستیک را بدون ایجاد مشکل خرز کم کرد [۲۲].

اما آن‌چه در تمام نمونه‌های مورد آزمون (به عنوان نمونه شکل ۴-الف) دیده شد، کاهش نیرو به همراه افزایش عمق نفوذ سوزن در مدت نگهداشتی نیرو است. در شرح این مشاهده می‌توان به دو پژوهش دیگر اشاره کرد. Broomell و همکاران نیز در بررسی خواص نانومکانیکی فک بالایی نوعی گونه جانوری به نام نریس (Nereis) پس از آن که نیرو به $500 \mu\text{N}$ رسید، نیرو را به مدت ۱ min بر نمونه نگهداشتند. نتایج گزارش شده توسط آنها نیز افت اندک نیرو را در مدت زمان نگهداشتی نیرو نشان داد. آنها این مشاهده را به آسایش گرانزوکشسان نمونه پیش از باربرداری نسبت دادند [۲۳]. در



شکل ۶- سختی سطح نمونه‌های حاوی درصدهای مختلف از عوامل شبکه‌ای کننده POSS یا TMPTMA (منظور از W نمونه‌هایی است که در آب قرار گرفته‌اند).

لاستیکی پلیمر بیشتر مشهود است [۲۵]. از آن جا که چسب مورد استفاده در دمای محیط در ناحیه شیشه‌ای قرار دارد، این تغییرات کمتر مشاهده می‌شود. در نمونه‌های قرار گرفته در آب تفاوت میان مقادیر مختلف POSS-MA معنی‌دار نیست ($p > 0.05$). چون جذب سطحی آب، اثر شبکه‌ای کردن را ختنی می‌کند و سختی افزایش نمی‌یابد. در نمونه‌های شبکه‌ای شده با TMPTMA با افزایش این عامل شبکه‌ای کننده، سختی افزایش یافته (به جز ۲۰ درصد وزنی) ولی این افزایش بین ۱۰ و ۴۰ درصد وزنی به همان دلیلی که در نمونه‌های شبکه‌ای شده با POSS-MA دیده شد، معنی‌دار نیست. در نمونه‌های قرار گرفته در آب، باز هم روند کلی افزایش سختی وجود دارد، ولی تفاوت میان مقادیر مختلف معنی‌دار نیست ($p > 0.05$). زیرا اثر افزایش سختی بر اثر افزایش چگالی اتصالات عرضی و کاهش سختی به واسطه اثر نرم کننده آب جذب شده، یک‌دیگر را ختنی می‌کنند.

در مقایسه میان دو نوع عامل شبکه‌ای کننده، TMPTMA اثر

یافته ولی این افزایش در مقادیر مختلف این عامل شبکه‌ای کننده معنی‌دار نیست ($p > 0.05$) که این امر ناشی از جذب آب است. در واقع در نمونه‌هایی که پیش از انجام آزمون به مدت یک روز در آب (دما ۳۷°C) نگهداری شده‌اند، دو پدیده با هم رقابت می‌کنند. یکی افزایش مدول ناشی از شبکه‌ای شدن و دیگری جذب آب و نرم شدن چسب است. عملکرد آب به عنوان نرم کننده به کاهش مدول و سختی نمونه می‌انجامد. هم‌چنین، پلیمر شدن آئینونی مونومرهای عمل نکرده با وجود آب، می‌تواند محتمل باشد. با توجه به نتایج حاصل اثر نرم کننده‌گی بیشتر است. بنابراین، با جذب آب و اثر نرم کننده‌گی ناشی از آن افزایش مدول با افزایش عامل شبکه‌ای کننده مشاهده نمی‌شود. در نمونه‌های شبکه‌ای شده با TMPTMA نیز با افزایش TMPTMA روند افزایشی مدول مشاهده می‌شود. فقط در مقدار ۲۰٪ از این ماده کاهش یافته که می‌تواند ناشی از ناهمواری سطح و خطای آزمایش باشد. این نمونه‌ها در حالت خیس هم افزایش نشان می‌دهند، ولی مدول نسبت به حالت خشک در ۱۰ درصد وزنی TMPTMA کمتر است که مربوط به اثر نرم کننده‌گی آب است. در ۲۰ و ۴۰ درصد وزنی تفاوت معنی‌دار نیست ($p > 0.05$). در واقع می‌توان گفت که با افزایش چگالی اتصالات عرضی، جذب آب کمتر می‌شود و آب‌دوستی نیز کاهش می‌یابد. بنابراین، اثر نرم کننده‌گی آب کمتر می‌شود.

شکل ۶ نمودار سختی سطح نانوکامپوزیت‌های حاوی درصدهای وزنی مختلف از عوامل شبکه‌ای کننده را نشان می‌دهد. همان‌طور که در شکل مشاهده می‌شود، با افزایش POSS-MA سختی افزایش می‌یابد. چون با افزایش مقدار عامل شبکه‌ای کننده، چگالی اتصالات عرضی بیشتر می‌شود و در نتیجه آن نیروهای بین مولکولی افزایش و بنابراین سختی سطح نیز افزایش می‌یابد. البته افزایش سختی سطح برای ۱۰ و ۲۰ درصد وزنی POSS-MA معنی‌دار است، ولی بین ۲۰ و ۴۰ درصد وزنی معنی‌دار نیست ($p > 0.05$). به طور کلی، افزایش مدول و سختی با افزایش چگالی اتصالات عرضی در ناحیه

جدول ۱- مقادیر درصدهای مولی (معادل درصدهای وزنی) از عوامل شبکه‌ای کننده استفاده شده در فرمول‌بندی‌ها.

OCA	TMPTMA					POSS					مقادیر
	(M _w =۲۰۹, x=۱)					(M _w =۳۳۸/۴۰, x=۳)					
۱۰۰	۴۰	۳۰	۲۰	۱۰		۴۰	۳۰	۲۰	۱۰		درصدهای وزنی در فرمول‌بندی
۲	۰/۸	۰/۶	۰/۴	۰/۲		۰/۸	۰/۶	۰/۴	۰/۲		وزن (g)
۹۵/۷	۲۳/۶	۱۷/۷	۱۱/۸	۵/۹۱		۴/۴۷	۳/۳۵	۲/۲۳	۱/۱۲		تعداد مول ($\times 10^4$)
۹/۵۷	۷/۰۹	۵/۳۲	۳/۵۵	۱/۷۷		۴/۴۷	۳/۳۵	۲/۲۳	۱/۱۲		تعداد مول پیوند دوگانه آکریلاتی ($\times 10^3$)
۱۰۰	۷۴/۱۱	۵۵/۵۸	۳۷/۰۶	۱۸/۰۲		۴۶/۶۶	۳۴/۹۹	۲۳/۱۳	۱۱/۷		نسبت مولی عامل شبکه‌ای کننده نسبت به سیانوآکریلات

x: تعداد گروه‌های عاملی (پیوندهای دوگانه)

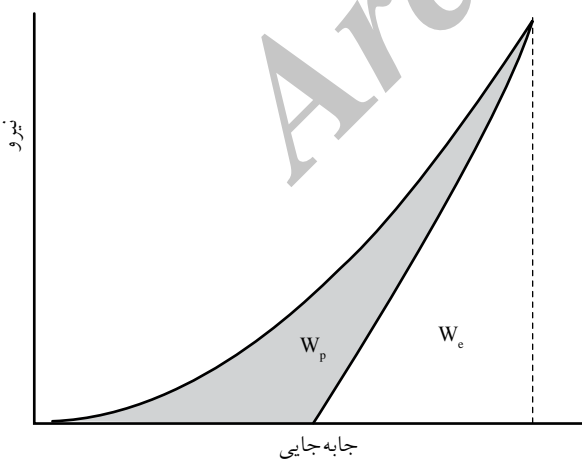
نیافته است. این مشاهده به دلیل اثر نرم کنندگی آب و خشی کردن اثر شبکه‌ای کننده است. در نمونه‌های شبکه‌ای شده با TMPTMA نیز به همان دلیل بیان شده در بالا افت نیرو در درصدهای وزنی ۱۰ و ۴۰ کاهش یافته، ولی در درصد وزنی ۲۰ کاهش نیافته است که این احتمالاً به دلیل خطای آزمایش است. در نمونه‌های شبکه‌ای شده با TMPTMA که در آب قرار گرفته‌اند، افت نیرو نسبت به نمونه شبکه‌ای نشده کمتر شده است و روند مشاهده شده با افزایش مقدار عامل شبکه‌ای کننده، کاهش بیشتر افت نیروست، گرچه به دلیل اثر نرم کنندگی آب معنی دار نیست.

در مقایسه میان دو نوع عامل شبکه‌ای کننده در نمونه‌های قرار گرفته در آب، TMPTMA موجب کاهش بیشتر افت نیرو می‌شود. زیرا همان طور که پیش تر بیان شد، به دلیل بیشتر بودن درصد اتصالات عرضی در این نمونه‌ها اثر نرم کنندگی آب کمتر است. هم‌چنین، آب‌گریزی POSS-MA از TMPTMA بیشتر است. بنابراین، با افزایش مقدار آن جذب آب در نمونه کمتر می‌شود.

محاسبه کار کشسان و کار پلاستیک

کار مکانیکی به شکل حاصل ضرب نیرو در جا به جایی تعریف می‌شود. بنابراین، سطح زیر منحنی بار-جا به جایی برابر کل انرژی مصرف شده برای فشار دادن نفوذکننده در داخل ماده است که به معادله (۴) داده می‌شود:

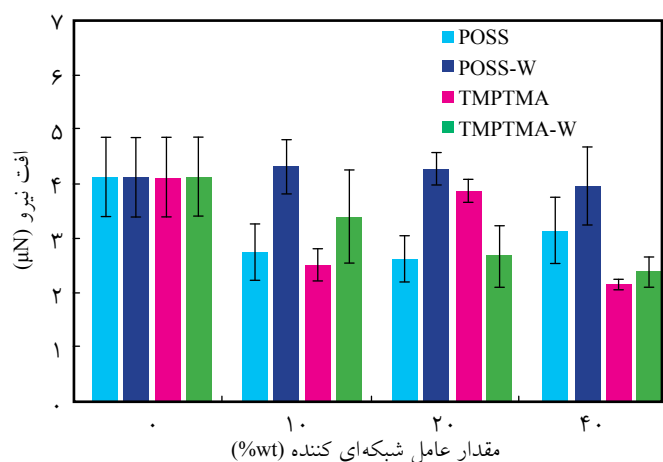
$$W_t = \int F dh \quad (4)$$



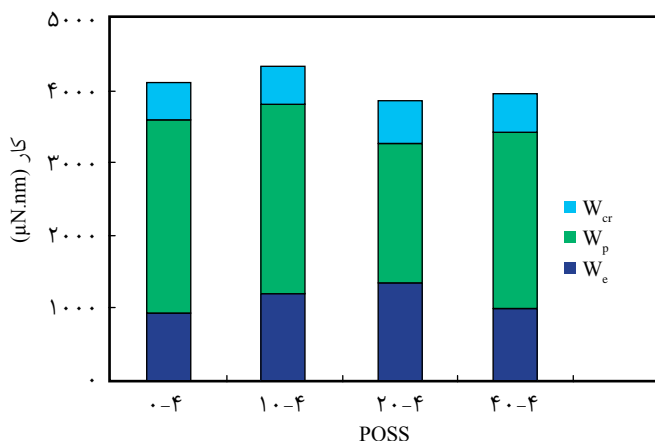
شکل ۸- نمودار نیرو بر حسب عمق نفوذ که در آن سهم کار کشسان و پلاستیک مشخص شده است (سطح کل زیر منحنی W_t را نشان می‌دهد).

بیشتری بر افزایش مدول و سختی نمونه‌ها دارد، زیرا مطابق جدول ۱، در مقادیر وزنی یکسان از دو عامل شبکه‌ای کننده، به دلیل وزن مولکولی کمتر (POSS) در مقایسه با TMPTMA فرمول بندی حاوی TMPTMA تعداد گروه‌های عاملی (پیوندهای دوگانه آکریلاتی) بیشتری در محیط واکنش وارد می‌کند. بنابراین با فرض یکسان بودن پیشرفت واکنش پلیمرشدن در هر دو نمونه، درصد اتصالات عرضی در نمونه‌های شبکه‌ای شده با TMPTMA بیشتر از درصد اتصالات عرضی در نانوکامپوزیت‌های شبکه‌ای شده با POSS است که مدول بیشتر در چسب شبکه‌ای شده با TMPTMA را توجیه می‌کند.

شکل ۷ مقدار افت نیرو را در مدت زمان نگهداشت نیرو برای نمونه‌های مختلف نشان می‌دهد. با افزودن عوامل شبکه‌ای کننده به پایه چسبی اکتیل سیانو-آکریلات، مقدار این افت نیرو کمتر می‌شود که نشان‌دهنده کمتر شدن آسایش از تنش در نمونه است. در واقع زمان آسایش از تنش نمونه افزایش یافته و چون مدت زمان نگهداشت نیرو بر نمونه ثابت است، عدد دبورا (Deborah) [۲۶] یعنی نسبت مقیاس زمانی عکس‌العمل ماده به مقیاس زمانی فرایند اندازه‌گیری افزایش می‌یابد. بنابراین، ماهیت گرانبروی ماده کمتر و کشسانی آن افزایش یافته است. این نتیجه با توجه به افزایش درصد اتصالات عرضی و مدول ناحیه لاستیکی با افزایش درصد عوامل شبکه‌ای کننده (مطابق نتایج آزمون DMTA در پژوهش پیشین نویسنده‌گان) انتطاب دارد [۱۵]. به بیان دیگر، سهم فنر (معیار رفتار کشسان) در مدل چهار جزیی افزایش یافته است. البته اختلاف میان مقادیر مختلف POSS-MA معنی دار نیست. در نمونه‌های شبکه‌ای شده با POSS-MA که در آب قرار گرفته‌اند، افت نیرو نسبت به نمونه شبکه‌ای نشده کاهش

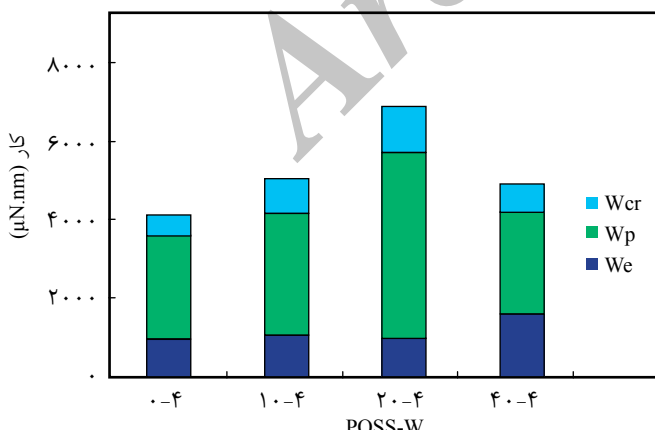


شکل ۷- افت نیرو در مدت زمان نگهداشت آن در نمونه‌های حاوی درصدهای مختلف از عوامل شبکه‌ای کننده POSS یا TMPTMA (منظور از W_t نمونه‌هایی است که در آب قرار گرفته‌اند).

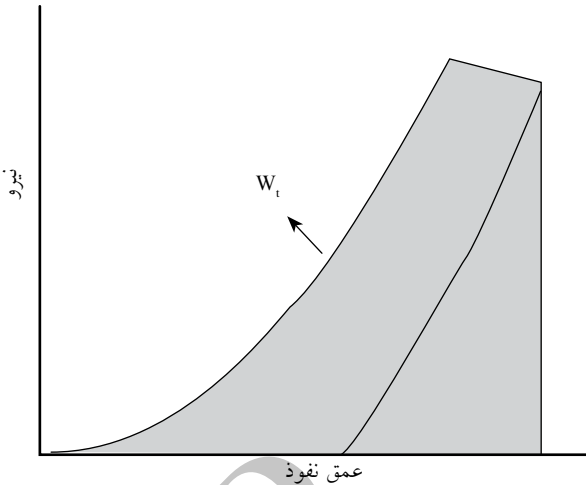


شکل ۱۱- کار کشسان (W_e)، کار پلاستیک (W_p) و کار خruzش (W_{cr}) در نمونه‌های شبکه‌ای شده با POSS.

شکل‌های ۱۱ تا ۱۴ کار کشسان، کار پلاستیک و کار خruzش را به ترتیب برای نمونه‌های شبکه‌ای شده با MA-POSS و TMPTMA یا MA-POSS و TMPTMA در آب پیش از آزمون نشان می‌دهد. انتظار می‌رود، با افزایش درصد عامل شبکه‌ای کننده، به دلیل افزایش چگالی اتصالات عرضی، سهم کار کشسان افزایش یابد. هم‌چنین همان‌طور که پیش‌تر بیان شد، با توجه جدول ۱ در مقادیر وزنی یکسان از دو عامل شبکه‌ای کننده و با فرض یکسان بودن پیشرفت واکنش پلیمرشدن، درصد اتصالات عرضی در نمونه‌های شبکه‌ای شده با TMPTMA بیشتر از درصد اتصالات عرضی در نانوکامپوزیت‌های شبکه‌ای شده با MA-POSS است. به عبارت دیگر، چگالی اتصالات عرضی در چسب‌های شبکه‌ای شده با TMPTMA بیشتر است. بنابراین انتظار می‌رود، این نمونه‌ها کار کشسان بیشتری را نشان



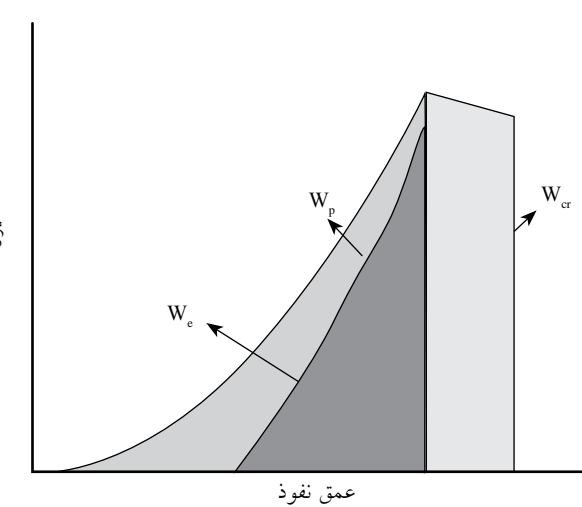
شکل ۱۲- کار کشسان (W_e)، کار پلاستیک (W_p) و کار خruzش (W_{cr}) در نمونه‌های شبکه‌ای شده با POSS که پیش از انجام آزمون در آب قرار گرفته‌اند.



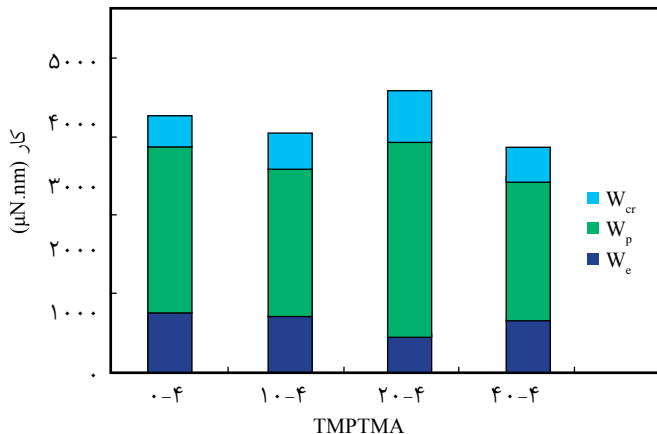
شکل ۹- نمودار کل کار انجام شده به صورت سطح زیر منحنی نیرو- عمق نفوذ.

که در آن F نیرو و h عمق نفوذ است [۲۷]. با برداشتن نیرو، سهم کار نفوذ کشسان ماده برمی‌گردد و کار کشسان و پلاستیک از هم جدا می‌شود (شکل ۸). سطح زیر منحنی نیرو- جایه‌جایی در قسمت برداشتن بار برابر انرژی کشسان (W_e) است و تفاوت W_e و W_p سهم کار پلاستیک را معین می‌کند [۲۸]. در مطالعه حاضر سطح کل زیر منحنی مجموع کار کشسان، کار پلاستیک و کار انجام شده طی آزمون خruzش است. شکل ۹ کار کل انجام شده و شکل ۱۰ سهم هر یک را به طور مجزا نشان می‌دهد. مطابق شکل داریم:

$$W_t = W_e + W_p + W_{cr} \quad (5)$$



شکل ۱۰- سهم هریک از کارهای کشسان، لاستیک و خruzش.



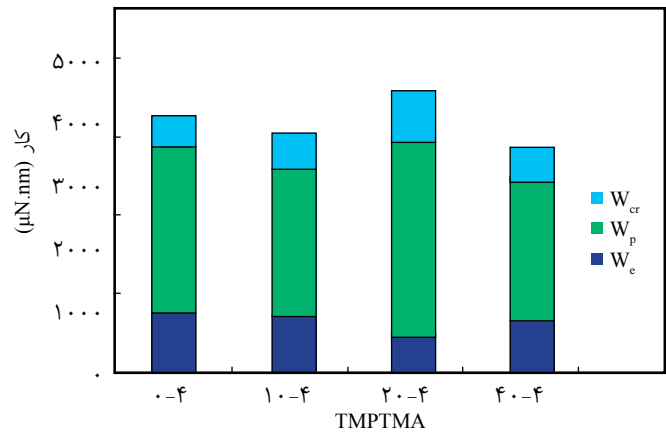
شکل ۱۴- کار کشسان (W_e)، کار پلاستیک (W_p) و کار خزش (W_{cr}) در نمونه‌های شبکه‌ای شده با TMPTMA که پیش از انجام آزمون در آب قرار گرفته‌اند.

زیاد عامل شبکه‌ای کننده است [۱۵].

نتایج مربوط به نمونه‌های شبکه‌ای شده با TMPTMA در شکل‌های ۱۳ و ۱۴ آمده است. مشاهده می‌شود، کار پلاستیک به علت ایجاد ساختار شبکه‌ای اندکی کاهش یافته و کار خزش به دلیل کافی نبودن مدت زمان نگهداشت نیرو تغییری نکرده است. در نمونه‌هایی که پیش از آزمون در آب نگه‌داری شدند (شکل ۱۴) کار پلاستیک تغییری نکرده است، زیرا اثر نرم کنندگی آب، اثر شبکه را خنثی کرده است. کار خزش نیز تغییری نکرده است.

نتیجه گیری

در این مطالعه، خواص نانومکانیکی سطحی چسب‌های بر پایه اکتیل سیانو-آکریلات شبکه‌ای شده با TMPTMA یا POSS-MA بررسی شدند. نتایج نشان داد، با افزودن عامل شبکه‌ای کننده، مدول سطحی و سختی افزایش و افت نیرو در زمان ثابت نگهداشت نیرو کاهش می‌یابد. در واقع ایجاد اتصالات عرضی موجب افزایش سهم رفتار کشسان در نمونه‌ها می‌شود. جذب آب نمونه‌ها به واسطه اثر نرم کنندگی آب برای چسب‌های حاصل موجب خشی کردن اثر افزایش چگالی اتصالات عرضی می‌شود. با افزایش عامل شبکه‌ای کننده به دلیل افزایش چگالی اتصالات عرضی و کاهش امکان لغزش زنجیرها روی هم، کار کشسانی افزایش و کار پلاستیک و کار خزش کاهش می‌یابد.



شکل ۱۳- کار کشسان (W_e)، کار پلاستیک (W_p) و کار خزش (W_{cr}) در نمونه‌های شبکه‌ای شده با TMPTMA.

دهند. در مورد کار خزش نیز انتظار می‌رود، با افزایش چگالی اتصالات عرضی کار خزش کاهش یابد. زیرا، خزش پلیمر ناشی از لغزش زنجیرهای پلیمری روی هم است و با افزایش اتصالات عرضی میان زنجیرها، امکان لغزش آنها روی هم و در نتیجه خزش کاهش می‌یابد. مطابق شکل ۱۱ روند کلی مشاهده شده افزایش کار کشسان با افزایش درصد MA-POSS است، ولی بین ۲۰ و ۴۰ درصد وزنی چنین روندی مشاهده نمی‌شود. این موضوع می‌تواند ناشی از دوفازی شدن نمونه‌ی حاوی ۴۰ درصد وزنی MA-POSS باشد که منجر به ایجاد نواحی غنی از MA-POSS در ساختار می‌شود [۱۵]. این موضوع که در آزمایش DMTA انجام شده توسط نویسنده‌گان اثبات شده است، باعث می‌شود که برخی نواحی که کمتر شبکه‌ای شده‌اند، رفتار کشسان کمتری نشان دهنده و تفاوت معنی‌داری میان نمونه‌های حاوی ۲۰ و ۴۰ درصد وزنی MA-POSS مشاهده نشود. کار پلاستیک نیز در نمونه‌های شبکه‌ای شده با MA-POSS کاهش یافته و در ۴۰ درصد وزنی به دلیل دوفاز شدن کمتر از مقدار مورد انتظار است. برای کار خزش تفاوت معنی‌دار نیست. احتمالاً زمان ۱۰^۸ برای این آزمون مناسب نیست.

در شکل ۱۲ کار کشسان، کار پلاستیک و کار خزش در نمونه‌های شبکه‌ای شده با MA-POSS که پیش از انجام آزمون در آب قرار گرفته‌اند، آمده است. روند کلی مشاهده شده در نمودار این است که کار کشسان افزایش نیافته و کار پلاستیک و کار خزش افزایش یافته است. این تغییرات به واسطه اثر نرم کنندگی آب است. البته این روند میان نمونه‌های شبکه‌ای شده با ۴۰ درصد وزنی مشاهده نمی‌شود که احتمالاً به دلیل اثر دوفاز شدن کامپوزیت حاصل در درصد وزنی

مراجع

1. Dumitriu S., *Polymeric Biomaterials*, 2nd ed., Marcel Dekker, New York, 2002
2. Adam J., James V., and Judd E., The Cyanoacrylate Topical Skin Adhesives, *Am. J. Emerg. Med.*, **26**, 490-496, 2008.
3. Chaudhury M. and Pocius A.V., *Adhesion Science and Engineering-2, Surfaces, Chemistry and Applications*, 1st ed., Elsevier Science, The Netherlands, 2002.
4. Dadaş B., Alkan S., Cifci M., and Başak T., Treatment of Tripod Fracture of Zygomatic Bone by N-2-Butyl Cyanoacrylate Glue Fixation, and Its Effect on the Tissue, *Eur. Arch. Oto-rhinol.*, **264**, 539-544, 2007.
5. Ahn D.K., Sims C.D., Randolph M.A., O'Connor D., Butler P., Amarante M., and Yaremchuk M., Craniofacial Skeletal Fixation Using Biodegradable Plates and Cyanoacrylate Glue, *Plats. Reconst. Surg.*, **99**, 1508-1515, 1997.
6. Kim Y.O., Use of Cyanoacrylates in Facial Bone Fractures, *J. Craniofac. Surg.*, **8**, 229-234, 1997.
7. Saska S., Hochuli-Vieira E., Minarelli-Gaspar A.M., Gabrielli M.F.R., Capela M.V., and Gabrielli M.A.C., Fixation of Autogenous Bone Grafts with Ethyl-cyanoacrylate Glue or Titanium Screws in the Calvaria of Rabbits, *Int. J. Oral Max. Surg.*, **38**, 180-186, 2009.
8. Harper M.C. and Ralston M., Isobutyl 2-Cyanoacrylate as an Osseous Adhesive in the Repair of Osteochondral Fractures, *J. Biomed. Mater. Res.*, **17**, 167-177, 1983.
9. Avery B.S. and Ord R.A., The Use of Butyl Cyanoacrylate as a Tissue Adhesive in Maxillo-Facial and Crano-Facial Surgery, *Brit. J. Oral Surg.*, **20**, 84-95, 1982.
10. Perry M.J. and Youngson C.C., In Vitro Fracture Fixation: Adhesive Systems Compared with a Conventional Technique, *Brit. J. Oral Max. Surg.*, **33**, 224-227, 1995.
11. Maurer P., Békes K., Gernhardt C.R., Schaller H.G., and Schubert J., Tensile Bond Strength of Different Adhesive Systems between Bone and Composite Compared: an in Vitro Study, *J. Cranio Maxill. Surg.*, **32**, 85-89, 2004.
12. Sidle D.M. and Maas C.S., Determination of Shear Strength of Periosteum Attached to Bone with BioGlue Surgical Adhesive, *Arch. Facial Plast. Surg.*, **10**, 316-320, 2008.
13. Hunter K.M., Cyanoacrylate Tissue Adhesive in Osseous Re-pair, *Brit. J. Oral Surg.*, **14**, 80-86, 1976.
14. Lauto A., Mawad D., and Foster J., Adhesive Biomaterials for Tissue Reconstruction, *J. Chem. Technol. Biotechnol.*, **83**, 464-472, 2008.
15. Ghasabani S., Atai M., Imani M., Zandi M., and Shokrgozar M.-A., Photo-Crosslinkable Cyanoacrylate Bioadhesive: Shrinkage Kinetics, Dynamic Mechanical Properties, and Biocompatibility of Adhesives Containing TMPTMA and POSS Nanostructures as Crosslinking Agents, *J. Biomed. Mater. Res. A*, **99A**, 2011.
16. Overhults W.C., Cross-linked Cyanoacrylate Adhesive Compositions, *US Pat. 3, 940362*, 1976
17. Garrido Maneiro M.A. and Rodríguez J., Pile-up Effect on Nanoindentation Tests with Spherical-Conical Tips, *Scripta Mater.*, **52**, 593-598, 2005.
18. Oliver W.C. and Pharr G.M., Measurement of Hardness and Elastic Modulus by Instrumented Indentation: Advances in Understanding and Refinements to Methodology, *J. Mat. Res.*, **19**, 3-20, 2004.
19. Mohamad D., Young R., Mann A., and Watts D., Post-polymerization of Dental Resin Composite Evaluated with Nanoindentation and Micro-Raman Spectroscopy, *Archives Orofacial Sci.*, **2**, 26-31, 2007.
20. Wang Y., Raabe D., Kluber C., and Roters F., Orientation Dependence of Nanoindentation Pile-up Patterns and of Nanoindentation Microtextures in Copper Single Crystals, *Acta Mater.*, **52**, 2229-2238, 2004
21. Berke P., Tam E., Delplancke-Ogletree M.P., and Massart T.J., Study of the Rate-Dependent Behavior of Pure Nickel in Conical Nanoindentation through Numerical Simulation Coupled to Experiments, *Mechanic. Mater.*, **41**, 154-164, 2009.
22. Fan Z. and Rho J.Y., Effects of Viscoelasticity and Time-dependent Plasticity on Nanoindentation Measurements of Human Cortical Bone, *J. Biomed. Mater. Res.*, **67A**, 208-214, 2003.
23. Broomell C.C., Mattoni M.A., Zok F.W., and Waite J.H., Critical Role of Zinc in Hardening of Nereis Jaws, *J. Experim. Biolog.*, **209**, 3219-3225, 2006.
24. Shimamoto A. and Tanaka K., Development of a Depth Controlling Nanoindentation Tester with Subnanometer Depth and

- Submicro-newton Load Resolutions, *Rev. Sci. Instrum.*, **68**, 3494-3503, 1997.
25. Nielson L.E. and Landel R.F., *Mechanical Properties of Polymer and Composites*, 2nd ed., Marcel Dekker, New York, 1994.
26. Menard K.P., *Dynamic Mechanical Analysis: A Practical Introduction*, 2nd ed., CRC, Tailor and Francis Group, Boca Raton, 2008.
27. Beegana D., Chowdhury S., and Laugier M.T., Work of Indentation Methods for Determining Copper Film Hardness, *Surface Coat. Technol.*, **192**, 57–63, 2005.
28. Bartali R., Micheli V., Gottardi G., Vaccari A., and Laidani N., Nanoindentation: Unload-to-load Work Ratio Analysis in Amorphous Carbon Films for Mechanical Properties, *Surface Coat. Technol.*, **204**, 2073–2076, 2010.

Archive of SID

Nanomechanical Properties of Photo-Cured Cyanoacrylate Bioadhesives Crosslinked by TMPTMA or POSS Nanostructures

Samaneh Ghasaban, Mohammad Atai*, Mohammad Imani, Mojgan Zandi

Iran Polymer and Petrochemical Institute, P.O. Box: 14965-115, Tehran, Iran

Received 20 December 2011, accepted 8 May 2012

ABSTRACT

The surface modulus and hardness of photo-crosslinkable cyanoacrylate bioadhesives containing TMPTMA and POSS as crosslinking agents were studied using nanoindentation technique. Adhesives containing 2-octyl cyanoacrylate (2-OCA) and different percentages of POSS nanostructures and TMPTMA as crosslinking agents were prepared. 1-Phenyl-1,2-propanedione (PPD) was incorporated as photo-initiator into the adhesive in 4 wt%. Mechanical properties of the surface of the adhesives were measured using nanoindentation technique applying a Berkovich tip. The results (three replicates) were analyzed and compared using one-way ANOVA and Tukey test at a significance level of 0.05. The results showed that by incorporation of crosslinking agents, surface modulus and hardness increased and force loss during holding decreased. The incorporation of crosslinking agents into the adhesives enhanced their elastic properties. The surface modulus and hardness increased by increasing crosslinking concentration. The results also indicated that the elastic work increased, and plastic work dropped due to increasing crosslinking density. The samples which had been stored in water for 24 h before the tests, showed reduced elastic properties due to the plasticization effect of water.

Key Words:

cyanoacrylate,
photo-crosslinking,
POSS,
nanoindentation,
surface mechanical
properties

(*)To whom correspondence should be addressed.
E-mail: m.atai@ippi.ac.ir